

Fyzika laserových generátorů

Fyzika laserů s lanthanoidy

Jan Šulc

Katedra fyzikální elektroniky
České vysoké učení technické
jan.sulc@fjfi.cvut.cz

18. března 2021

1. Elektron-fononová interakce
 - ▶ komplexy a model konfiguračních souřadnic
 - ▶ štěpení hladin v poli krystalu
 - ▶ nezářivé přechody a matrice s nízkou energií fononů
2. Kvantová soustava s vibračně rozšířenými hladinami
 - ▶ emisní a absorpcní spektrum
 - ▶ zobecněné Einsteinovy relace
 - ▶ prahová podmínka a pracovní vlnová délka laseru
3. Fyzika laserů s přechodovými kovy
 - ▶ přechodové kovy
 - ▶ Tanabe-Sugano diagram
 - ▶ Jahn-Tellerův efekt: Ti:Al₂O₃
4. Fyzika laserů s lanthanoidy
 - ▶ lanthanoidy
 - ▶ Dickův diagram
 - ▶ Judd-Ofeltova analýza
5. Kvazi-3-hladinový model aktivního prostředí
 - ▶ rychlostní rovnice
 - ▶ řešení pro stacionární stav - CW laser
 - ▶ podélné čerpání a optimální délka laserové tyče
6. Systémy s přenosem energie
 - ▶ iont-iontová interakce
 - ▶ kodopace, up-konverze, křížová relaxace
 - ▶ spektroskopické vlastnosti aktivního prostředí ve vztahu k činnosti laseru

Plán – možné

7. Saturovatelné absorbéry
 - ▶ rychlý a pomalý absorber
 - ▶ Frantz-Nodvikova rovnice I.
 - ▶ ESA, FOM a anizotropie ESA
8. Optimalizace Q-spínání
 - ▶ aktivně spínaný laser
 - ▶ pasivně spínaný laser
 - ▶ vliv ztrát a ESA
9. Laserový zesilovač
 - ▶ Frantz-Nodvikova rovnice II.
 - ▶ single-pass, multi-pass
 - ▶ regenerativní zesilovač
10. Nelineární konverze v laserovém rezonátoru
 - ▶ Raman
 - ▶ SHG
 - ▶ OPO
11. Vznik, vliv a odvod tepla v pevnolátkovém laseru
 - ▶ rovnice vedení tepla
 - ▶ rovnice pro tepelné pnutí – Lamého rovnice
 - ▶ numerické řešení
12. Polovodiče v laserové technice
 - ▶ kvantová jáma
 - ▶ opticky čerpané polovodičové lasery
 - ▶ polovodičový saturovatlený absorbér
13. Zajímavé aplikace

Aktivátory pevnolátkových iontových laserů

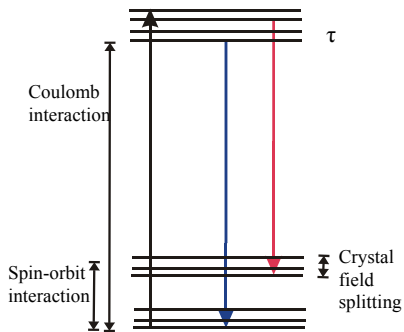
1 H															2 He		
3 Li	4 Be																
11 Na	12 Mg																
19 K	20 Ca	21 Sc	22 Ti	23 V	24 Cr	25 Mn	26 Fe	27 Co	28 Ni	29 Cu	30 Zn	31 Ga	32 Ge	33 As	34 Se	35 Br	36 Kr
37 Rb	38 Sr	39 Y	40 Zr	41 Nb	42 Mo	43 Tc	44 Ru	45 Rh	46 Pd	47 Ag	48 Cd	49 In	50 Sn	51 Sb	52 Te	53 I	54 Xe
55 Cs	56 Ba	La- Lu	72 Hf	73 Ta	74 W	75 Re	76 Os	77 Ir	78 Pt	79 Au	80 Hg	81 Tl	82 Pb	83 Bi	84 Po	85 At	86 Rn
87 Fr	88 Ra	Ac- Lr	104 Rf	105 Db	106 Sg	107 Bh	108 Hs	109 Mt									

57 La	58 Ce	59 Pr	60 Nd	61 Pm	62 Sm	63 Eu	64 Gd	65 Tb	66 Dy	67 Ho	68 Er	69 Tm	70 Yb	71 Lu
89 Ac	90 Th	91 Pa	92 U	93 Np	94 Pu	95 Am	96 Cm	97 Bk	98 Cf	99 Es	100 Fm	101 Md	102 No	103 Lr

Ionty ve vnějším poli matrice

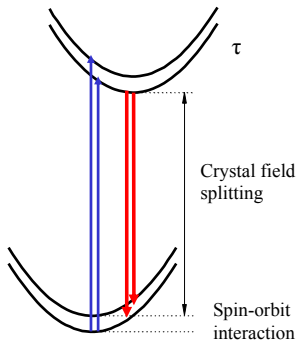
Ionty vzácných zemin

- ▶ Valenční $4f$ elektrony stíňí elektrony z podslupek $5s$ a $5p$, které mají menší energii, ale větší poloměr
- ▶ Slabá interakce s vnějším polem \Rightarrow úzké emisní a absorpční čáry



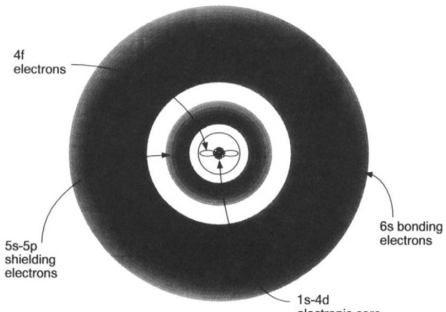
Ionty přechodových prvků

- ▶ Valenční elektrony v podslupce $3d$ na vnějším okraji elektronového obalu jsou v přímé interakci s okolím
- ▶ Silná interakce s fonony – široké absorpční a emisní čáry



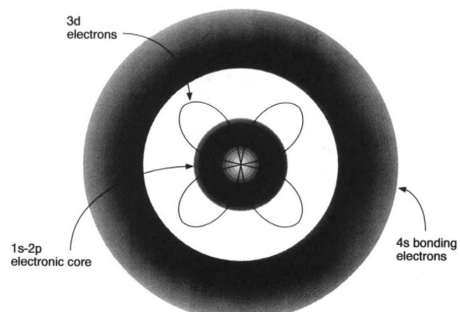
Ionty ve vnějším poli matrice

Lantahnoidy



Lanthanide series atom electronic configuration.

Přechodové kovy



Transition metal electronic configuration.

Yb:YAG

c = 10 % Yb/Y

L = 3 mm

D = 3 mm

Cr:YAG

To = 75 %

L = 2.8 mm

D = 3 mm



Roc = 80 %



1 mm

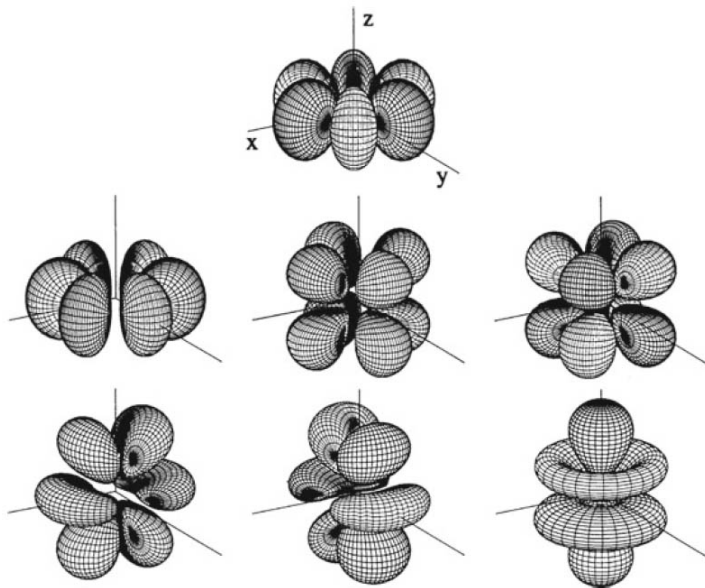
Laserové materiály s lanthanoidy

- Elektronová konfigurace lanthanoidů doplňující konfiguraci Xe [Ar] $3d^{10}4s^24p^6$
 $4d^{10}5s^25p^6$

58 Ce $4f^15d^16s^2$	59 Pr $4f^35d^06s^2$	60 Nd $4f^45d^06s^2$	61 Pm $4f^55d^06s^2$	62 Sm $4f^65d^06s^2$	63 Eu $4f^75d^06s^2$	64 Gd $4f^75d^16s^2$
65 Tb $4f^95d^06s^2$	66 Dy $4f^{10}5d^06s^2$	67 Ho $4f^{11}5d^06s^2$	68 Er $4f^{12}5d^06s^2$	69 Tm $4f^{13}5d^06s^2$	70 Yb $4f^{14}5d^06s^2$	71 Lu $4f^{14}5d^16s^2$

- Laserového procesu účastní elektrony z podslupky $4f$
- Jestliže je lanthanoid začleněn do matice, většinou s ní sdílí tři elektrony: jeden z podslupky $4f$ a dva s podslupky $6s$.
 - Elektrony v prvních třech slupkách a z prvních tří podslupek ($4s$, $4p$ a $4d$) čtvrté slupky představují sférický symetrický potenciál, který poutá $4f$ elektrony k atomu.
 - Elektrony z podslupek $5s$ a $5p$ stíní zbývající $4f$ elektrony před polem krystalu, které je proto nemůže příliš ovlivnit a má jen malý vliv na strukturu spekter trojnásobně ionizovaných lanthanoidů.
- Absorpční a emisní spektru lanthanoidů v laserovém aktivním prostředí je charakteristické čárovou strukturou. Šířka čáry jednotlivých přechodů je řádově 10^{11} Hz (v případě přechodových kovů je to $\sim 10^{14}$ Hz).
- Protože je vliv pole krystalu na energetické hladiny lanthanoidů slabý, vlnová délka emise je na matrici méně závislá, než je tomu u přechodových kovů. Na základě znalosti energetických úrovní určitého lanthanoidu v jednom materiálu je možné odhadnou tyto hladiny pro jakoukoliv jinou matrici.

Vlnové funkce 4f-orbitalu



Energetické hladiny lanthanoidů

- ▶ Jak rozmístit 1-13 elektronů mezi 7 pozic 4f-orbitalu při uvážení spinu?

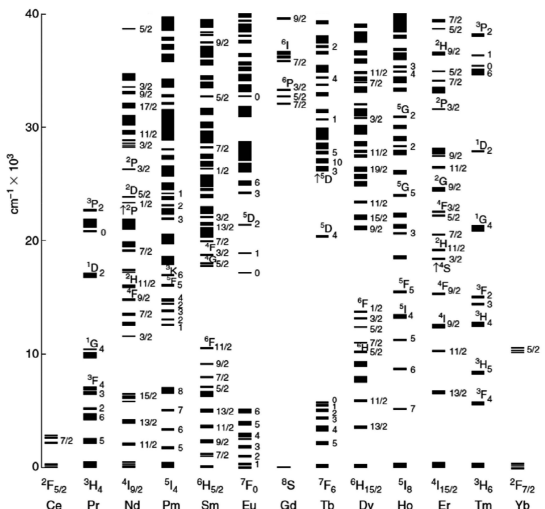
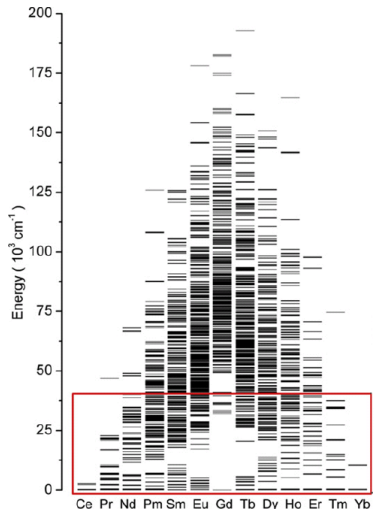
$4f^n$		$4f^n$		Počet e^-/e^+	Počet hladin		
					SL	SLJ	SLJM
4f ¹	Ce ³⁺ , Pr ⁴⁺	4f ¹³	Yb ³⁺ , Tm ²⁺	1	1	2	14
4f ²	Pr ³⁺	4f ¹²	Tm ³⁺	2	7	13	91
4f ³	Nd ³⁺	4f ¹¹	Er ³⁺	3	17	41	364
4f ⁴	Pm ³⁺	4f ¹⁰	Ho ³⁺ , Dy ²⁺	4	47	107	1001
4f ⁵	Sm ³⁺	4f ⁹	Dy ³⁺	5	73	197	2002
4f ⁶	Eu ³⁺ , Sm ²⁺	4f ⁸	Tb ³⁺ , Dy ⁴⁺	6	119	295	3003
4f ⁷	Gd ³⁺ , Eu ²⁺	—	—	7	119	327	3432

- ▶ Hamiltonián pro valenční $4f^n$ elektrony **volného iontu**:

$$H_{FI} = H_0 + \sum F^k f_k + \zeta_f A_{SO} + \alpha L(L+1) + \beta G(G_2) + \gamma G(R_7) + \sum T^i t_i + \sum M^h m_h + \sum P^f p_f$$

- ▶ H_0 – centrální pole, pouze posunuje absolutní hodnoty energie
- ▶ Pro každý následující člen první faktor představuje *radiální* fitovací parametr (určen z experimentu), zatímco následující faktorem je *úhlový* člen (určen z prvních principů).
- ▶ f_k – elektrostatická interakce, A_{SO} – spin-orbitální interakce, $L(L+1)$, $G(G_2)$ a $G(R_7)$ – interakce dvou těles, t_i – interakce tří těles, m_h – kombinace interakce spin-spin a spin-orbit, p_f – elektrostaticky korelovaná spin-orbitální interakce.

Energetické hladiny lanthanoidů – Dickův diagram pro Ln^{3+}



- ▶ Nejjednodušší konfigurace mají ionty s jedním elektronem nebo dírou v 4f slupce (Ce^{3+} , Yb^{3+})
- ▶ Konfigurace $4f^7$ (Gd^{3+}) je stabilní a vyžaduje vysoké energie

Spektra lanthanoidů

- ▶ Přechody v rámci f-orbitalu podle Laportova výběrového pravidla „zakázané“, protože mají stejnou paritu

$$\vec{d}_{12} = e \langle 1 | \vec{r} | 2 \rangle = e \int \psi_1^*(\vec{r}) \vec{r} \psi_2(\vec{r}) dV = \vec{d}_{21}^*.$$

- ▶ Operátor elektrického dipólu (lichý)

$$\hat{\mathbf{P}} = -e \sum_i \mathbf{r}_i$$

- ▶ Operátor magnetického dipólu (sudý) – speciální případy

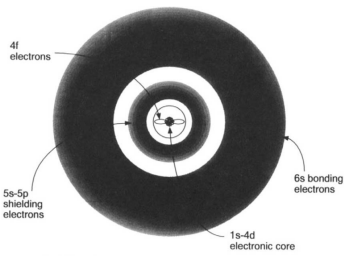
$$\hat{\mathbf{M}} = -\frac{e\hbar}{2mc} \sum_i (\mathbf{l}_i + 2\mathbf{s}_i)$$

- ▶ Operátor elektrického kvadrupólu (sudý) – příliš slabý

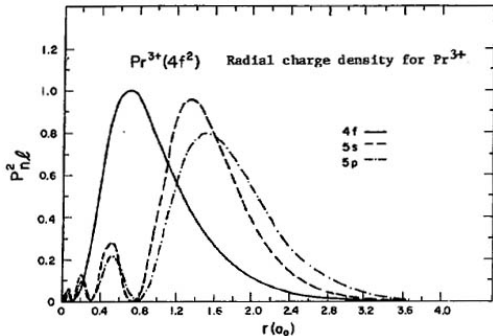
$$\hat{\mathbf{Q}} = -\frac{1}{2} \sum_i (\mathbf{k}_i \cdot \mathbf{r}_i) \times \mathbf{r}_i$$

- ▶ Řešení je v mixování stavů (4f-4f, 4f-5d) v důsledku interakce s okolím (Racach 1949)

Vlnové funkce lanthanoidů a mixování stavů (4f-4f, 4f-5d)



Lanthanide series atom electronic configuration.



Judd-Ofeltova teorie (1962)

- Výchozí a koncový stav je daný mixováním stavů $4f^N$ ($\varphi_{a,b}$) a $4f^{N-1}5d$ (φ_β) v důsledku interakce iontu s okolím (\hat{V}). V prvním řádu poruchové teorie:

$$\langle \Psi_a | = \langle \varphi_a | + \sum_\beta \frac{\langle \varphi_a | \hat{V} | \varphi_\beta \rangle}{E_a - E_\beta} \langle \varphi_\beta |$$

$$| \Psi_b \rangle = | \varphi_b \rangle + \sum_\beta \frac{\langle \varphi_\beta | \hat{V} | \varphi_b \rangle}{E_b - E_\beta} | \varphi_\beta \rangle$$

- Stavy $|\Psi_{a,b}\rangle$ mají smíšenou paritu
- Pravděpodobnost přechodu v důsledku elektrické dipólové interakce:

$$\langle \Psi_a | \hat{\mathbf{P}} | \Psi_b \rangle = \sum_\beta \left\{ \frac{\langle \varphi_a | \hat{V} | \varphi_\beta \rangle \langle \varphi_\beta | \hat{\mathbf{P}} | \varphi_b \rangle}{E_a - E_\beta} + \frac{\langle \varphi_a | \hat{\mathbf{P}} | \varphi_\beta \rangle \langle \varphi_\beta | \hat{V} | \varphi_b \rangle}{E_b - E_\beta} \right\}$$

- $\hat{\mathbf{P}}$ je operátor elektrického dipólu. Operátor interakce iontu s okolím:

$$\hat{V} = \sum_i \sum_{qk} A_{qk} r_i^k Y_{kq}(\vartheta_i, \varphi_i)$$

- Racachův irreducibilní tenzor

$$C_q^{(k)} = \left(\frac{4\pi}{2k+1} \right)^{1/2} Y_{kq}$$

Judd-Ofeltova teorie (1962)

- Zjednodušující předpoklady:

1. Stavy $4f^{N-1}5d$ (φ_β) jsou degenerované v J
2. Platí $E_a - E_\beta = E_b - E_\beta$ (využije se pak relace úplnosti $\sum_\beta |\varphi_\beta\rangle\langle\varphi_\beta| = 1$)
3. Všechny Starkovské podhladiny jsou stejně obsazeny
4. Prostřední je opticky isotropní

- Síla oscilátoru

$$f = \frac{8\pi mc}{3\hbar\bar{\lambda}(2J+1)e^2} n \underbrace{\left(\frac{n^2+2}{3n} \right)^2 \sum_{S_{ED}} \left| \langle \alpha JM | \hat{\mathbf{P}} | \alpha' J' M' \rangle \right|^2}_{S_{ED}}$$

- Operátory elektrického dipolu $\hat{\mathbf{P}}$ a interakce s krystalem \hat{V} se kombinují do efektivního tenzorového operátoru $U^{(\lambda)}$ a využije se Wignerův-Eckartův teorém:

$$S_{ED} = \sum_{\lambda=2,4,6} \Omega_{(\lambda)} \left| \langle I^N S L J | U^{(\lambda)} | I'^N S' L' J' \rangle \right|^2$$

- Judd-Ofeltovy parametry je možné určit z prvních principů:

$$\Omega_{(\lambda)} = (2\lambda + 1) \sum_p \sum_{t=1,3,5} \frac{|A_{tp}|^2}{2t+1} Y^2(t, \lambda)$$

ale komponenty pole krystalu A_{tp} je velmi obtížné stanovit a tak se parametry $\Omega_{(\lambda)}$ stanoví fitováním na experimentální data

- Redukované maticové prvky tenzorových operátorů $U^{(k)}$ jsou tabelované

Judd-Ofeltova analýza

- ▶ Síla oscilátoru se dá experimentálně stanovit. Například z absorpčního spektra:

$$S_m = \frac{3ch(2J+1)}{8\pi^2 e^2 \bar{\lambda}} n \left(\frac{3}{n^2 + 2} \right)^2 \int \sigma(\lambda) d\lambda$$

- ▶ Fitováním na teoretická data se stanoví odhad parametrů $\Omega_{(\lambda)}$
- ▶ S pomocí těchto parametrů a tabelovaných redukovaných maticových prvků tenzorových operátorů $U^{(k)}$ lze spočítat rychlosti libovolného přechodu (Einsteinovy A-koeficienty):

$$A_{J'J} = \frac{64\pi^4 e^2}{3h(2J'+1)\bar{\lambda}^3} \left[n \left(\frac{n^2 + 2}{3} \right)^2 S_{ED} + n^2 S_{MD} \right]$$

(S_{MD} jsou taky tabelované, ale tabulky jsou hůř dostupné)

- ▶ Radiativní doba života

$$\frac{1}{\tau_r} = \sum_J A_{J'J}$$

- ▶ Branching ratio

$$\beta_{J'J} = \frac{A_{J'J}}{\sum_J A_{J'J}}$$

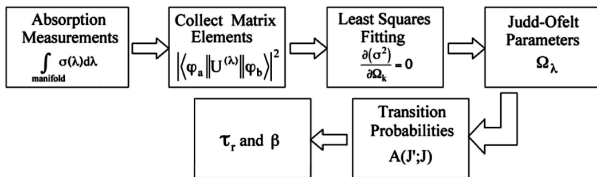
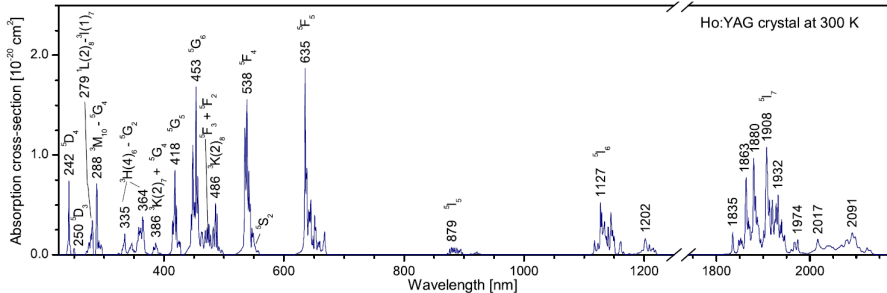
Význam a využití parametrů $\Omega_{(\lambda)}$

- ▶ $\Omega_{(2)}$
 - ▶ Roste se vzrůstající asymetrií pozice Ln^{3+}
 - ▶ Roste se vzrůstající kovalencí pozice Ln^{3+}
 - ▶ Roste s nephelauxetickým efektem (vzrůstající vliv pole lingandů vedoucí ke zmenšení repulse)
- ▶ $\Omega_{(4)}$
 - ▶ Závislost na prostředí nejasná a málo studovaná a interpretace je kontroverzní
 - ▶ Snad má vliv hustota elektronů v okolí Ln^{3+}
- ▶ $\Omega_{(6)}$
 - ▶ Citlivý na překryv 4f a 5d orbitalů
 - ▶ Roste s poklesem Coulombovské interakce (s poklesem intenzity krystalového pole, s nárůstem vzdálenosti Ln^{3+} a ligandů)
 - ▶ Klesá s rostoucí kovalencí mezi Ln^{3+} a ligandy
- ▶ Určitý smysl má srovnání více vzorků při použití stejného postupu
- ▶ Smysl má verifikace přes změřené radiativní doby života konkrétních hladin
- ▶ Pro některé přechody může být smysluplný poměr některých J-O parametrů, který je méně citlivý na metodě
- ▶ Výsledky J-O analýzy se dají do jisté míry použít i pro stanovení rychlosti nezářivých přechodů

Slabá místa Judd-Ofeltovy analýzy

- ▶ Stanovení parametrů $\Omega_{(\lambda)}$ je silně citlivé na použité metodě výpočtu měřením absorpčního spektra počínaje, přes výběr použitých pásů zahrnutých do výpočtu až po vlastní nelineární fitování
- ▶ Různí autoři používají různé postupy (i třeba různé susceptibility)
- ▶ Některé ionty nemají dostatek vhodných nepřekrývajících se pásů (Yb^{3+} , Pr^{3+})
- ▶ Zahrnout přechody s nenulovým S_{MD} je obtížné
- ▶ Vliv silně-slabé čáry na výsledek může být značný
- ▶ Některé přechody mají velký vliv na výsledek fitu (nenulový je třeba je jeden člen $|\langle I^N S L J || U^{(\lambda)} || I^N S' L' J' \rangle|^2$)
- ▶ Ačkoliv se běžně používají historické tabulky stanovené pro $\text{Ln}^{3+}:\text{LaF}_3$, nejsou hodnoty $|\langle I^N S L J || U^{(\lambda)} || I^N S' L' J' \rangle|^2$ ve skutečnosti zcela nezávislé na matrici (existují i odchylky o 20 %)
- ▶ Některé ionty (Eu^{3+}) zcela vzdorují J-O analýze

Judd-Ofeltova analýza Ho:YAG



$$\frac{3hc^2}{8\pi^3 e^2} \frac{2J+1}{\bar{\nu}} \frac{n}{\chi_{ED}^{abs}} \int_0^\infty \sigma(\nu) d\nu = S_{abs} = \sum_{\lambda=2,4,6} \Omega_{(\lambda)} \left| \langle I^N S L J | U^{(\lambda)} | I^N S' L' J' \rangle \right|^2$$

Judd-Ofeltova analýza Ho:YAG

Table 3. Input data for J-O analysis of Ho:YAG: barycenter energies determined from the measured absorption cross-section spectra; refractive index of YAG²⁶; set of optimized squared reduced-matrix elements for tensor operators $\mathbf{U}^{(k)}$ and $\mathbf{L} + g\mathbf{S}$; experimental f_{exp} and calculated f_{clc} oscillator strengths.

Transition	Barycenter [cm ⁻¹]	Refr. index	$ \langle \mathbf{U}^{(2)} \rangle ^2$	$ \langle \mathbf{U}^{(4)} \rangle ^2$	$ \langle \mathbf{U}^{(6)} \rangle ^2$	$ \langle \mathbf{L} + g\mathbf{S} \rangle ^2$	f_{exp} [10 ⁻⁶]	f_{clc} [10 ⁻⁶]
⁵ I ₈ → ⁵ I ₇	5232	1.802	0.0248	0.1335	1.5120	23.2428	14.0	18.9
⁵ I ₆	8770	1.813	0.0088	0.0391	0.6969	0	7.9	10.3
⁵ I ₅	11269	1.819	0	0.0114	0.0879	0	1.7	1.8
⁵ F ₅	15648	1.829	0	0.4120	0.5698	0	30.0	28.0
⁵ S ₂ , ⁵ F ₄	18570	1.837	0	0.2425	0.9207	0	40.8	36.9
³ K(2) ₇ , ⁵ F ₃ , ⁵ F ₂ , ⁵ G ₆	21990	1.849	1.5427	0.8772	0.8775	67.0324	80.1	159.0
⁵ G ₅	23910	1.856	0	0.5235	0.0002	0	26.7	27.7
³ K(2) ₇ , ⁵ G ₄	25899	1.865	0.0069	0.0423	0.0694	0.2934	5.3	5.8
³ H(4) ₆ – ⁵ G ₂	27923	1.874	0.2351	0.3416	0.3636	0.0216	42.3	42.1
³ M ₁₀ – ⁵ G ₄	34673	1.913	0	0.2706	0.0528	0	26.7	24.8
¹ L(2) ₈ – ³ I(1) ₇	35871	1.921	0.0194	0.2917	0.0250	7.4147	22.3	38.5
⁵ D ₃	39965	1.953	0	0	0.0272	0	2.2	1.9
⁵ D ₄	41389	1.965	0	0.2700	0.0146	0	27.6	28.1

Table 4. Ho:YAG Judd–Ofelt intensity parameters Ω_λ and calculated spontaneous radiative lifetime τ_r for ⁵I₇ → ⁵I₈

Ω_2 [10 ⁻²⁰ cm ²]	Ω_4 [10 ⁻²⁰ cm ²]	Ω_6 [10 ⁻²⁰ cm ²]	τ_r [ms]	References
1.2	5.29	1.48	6.75	Kaminskii ³⁰
0.101	2.086	1.724	7.82	Walsh <i>et al.</i> ²¹
0.04	2.67	1.89	6.36	Malinowsk <i>et al.</i> ³¹
0.1	2.59	1.48	7.5	Ryabochkina <i>et al.</i> ³²
0.55	1.95	1.42	7.87	this work
0	1.83	1.54	7.53	this work*

*Results, if transitions to levels ³K(2)₇, ⁵F₂, ⁵F₃, and ⁵G₆

were incorporated in the J-O analysis.

Shrnutí

- ▶ Ionty lanthanoidů (a aktinoidů) (f-prvky) mají částečně stíněnou valenční slupku a jejich elektrony interagují s okolím jen poměrně slabě
 - ▶ Relativně úzké absorpční a emisní pásy
 - ▶ Dickův diagram
 - ▶ Judd-Ofeltova teorie
- ▶ Judd-Ofeltova teorie umožňuje poměrně jednoduše do určité míry zkoumat vliv matrice na spektroskopii iontů lanthanoidů
 - ▶ Síly/intenzity spektrálních čar
 - ▶ Doby života energetických hladin
 - ▶ Poměrně nespolehlivé výsledky

Literatura

-  RICHARD C. POWELL: *Physics of solid-state laser materials*, Springer-Verlag, 1998
 -  Judd, B. R., "Optical absorption intensities of rare-earth ions," *Physical Review* **127**, 750–761 (1962).
 -  Ofelt, G. S., "Intensities of crystal spectra of rare-earth ions," *The Journal of Chemical Physics* **37**(3), 511–520 (1962).
 -  B. M. Walsh, *Advances in Spectroscopy for Lasers and Sensing*, ch. Judd-Ofelt theory: principles and practices, pp. 403–433, Springer Netherlands, Dordrecht, 2006.
 -  Hehlen, M. P., Brik, M. G., and Kramer, K. W., "50th anniversary of the Judd-Ofelt theory: An experimentalist's view of the formalism and its application," *Journal of Luminescence* **136**, 221–239 (2013).
 -  B. Henderson and R. H. Bartram, *Crystal-field engineering of solid-state laser materials*, Cambridge studies in modern optics, Cambridge University Press, Cambridge, 2000.
-  Přednášky: <http://people.fjfi.cvut.cz/sulcjan1/FLT/>